

Decadimento Radiattivo

... tempo di semivita = $t_{1/2}$ 10^{-14} secondi - 10^{15} anni

Leggi di Conservazione



→ 1. L'energia totale del sistema deve essere costante:

$$E_1 + E_2 = E_3 + E_4$$

2. Il momento lineare $p = mv$, deve essere costante:

$$p_1 + p_2 = p_3 + p_4$$

→ 3. La carica totale del sistema deve essere costante:

$$Z_1 + Z_2 = Z_3 + Z_4$$

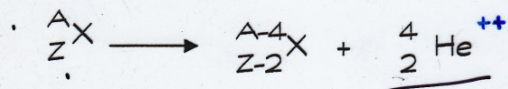
→ 4. Il numero di massa del sistema deve essere costante:

$$A_1 + A_2 = A_3 + A_4$$

5. Il momento angolare nucleare totale p_l , del sistema deve essere conservato:

$$(p_l)_1 + (p_l)_2 = (p_l)_3 + (p_l)_4$$

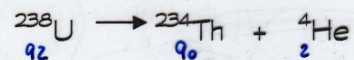
Decadimento α



$$Q(\text{MeV}) = -931.5 \Delta M \quad \Delta M = \text{difetto di massa}$$

$$Q_\alpha(\text{MeV}) = -931.5 (M_{Z-2} + M_{\text{He}} - M_Z)$$

Es:



$$Q_\alpha = -931.5 (234.043583 + 4.002604 - 238.050770) = \underline{4.269 \text{ MeV}}$$

$$Q_\alpha = E_{Z-2} + E_\alpha$$

$$E_{Z-2} = Q_\alpha \frac{M_\alpha}{M_Z}$$

$$E_\alpha = Q_\alpha \frac{M_{Z-2}}{M_Z}$$

$$E_{{}^{234}\text{Th}} = 0.072 \text{ MeV}$$

$$E_\alpha = 4.197 \text{ MeV}$$

Dal ${}^{238}_{82} \text{Pb}$ in poi e poi ${}^{214}_{60} \text{Po}$ ${}^{214}_{62} \text{Pb}$

In questa l' E_α sono comprese tra 3 e 9 MeV

Non attraversano la materia ma ne causano la ionizzazione

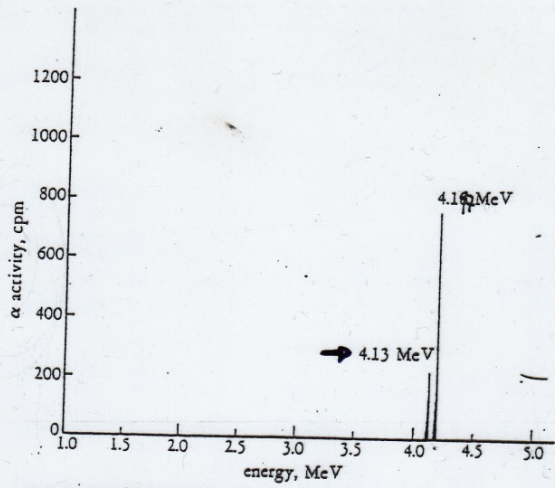


Figure 2-2 Distribution of alpha particles emitted from U^{238} plotted as a function of their energies.

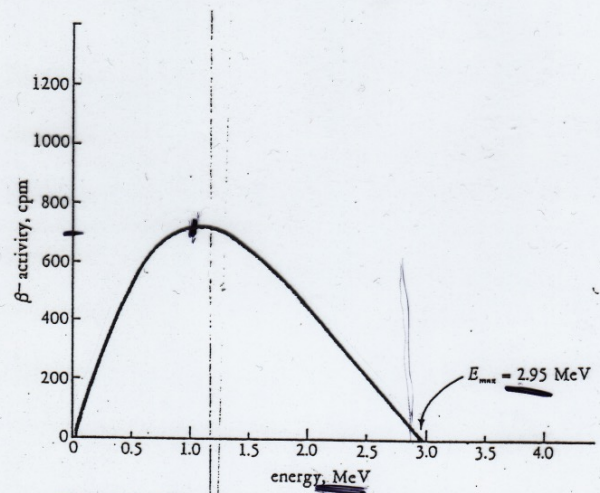
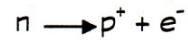
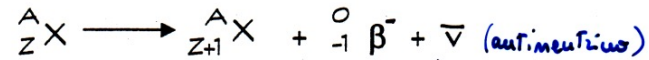


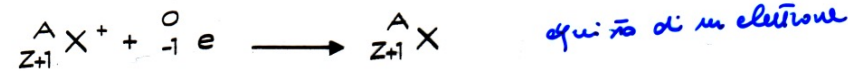
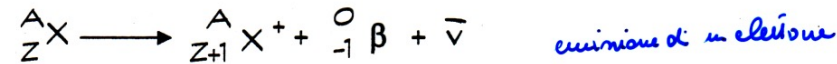
Figure 2-3 Distribution of the negatron decay activity of In^{116} plotted as a function of the energies of the negative beta particles.

Decadimento β

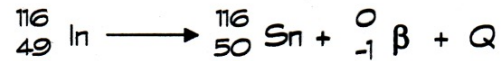
- Decadimento negatronico (β^-) *emisi: con un eccesso di neutroni*



$$Q_{\beta^-} (\text{MeV}) = -931.5 (M_{Z+1} - M_Z)$$

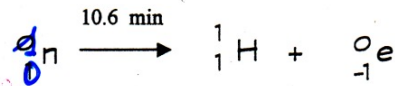


Es:



$$Q_{\beta^-} = -931.5 (M_{116\text{Sn}} - M_{116\text{In}}) = 931.5 (115.94096 - 115.93779) = 2.95 \text{ MeV}$$

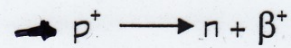
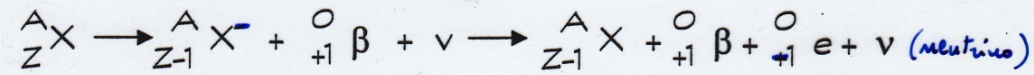
$$Q_{\beta^-} = E_{Z+1} + E_{\beta}$$



$$Q_{\beta^-} = -931.5 (1.007825 - 1.008665) = 0.782 \text{ MeV}$$

β^+

- Decadimento positronico (nuclei con un eccesso di protoni)

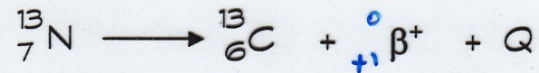


$$Q_{\beta^+}(\text{MeV}) = -931.5 (M_{Z-1} + 2M_e - M_Z)$$

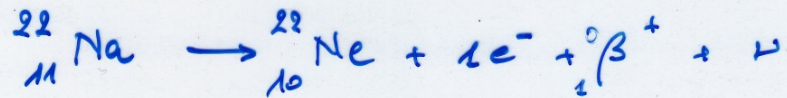
per ogni elettrone *positivone*

$$931.5 \times 0.000549 = 0.511 \text{ MeV}$$

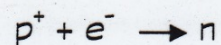
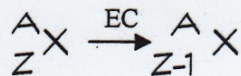
Es



$$Q_{\beta^+} = -931.5 (13.003354 - 13.005738) - 2 \times 0.511 = 1.20 \text{ MeV}$$

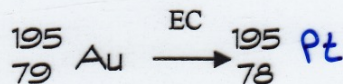


- Cattura Elettronica (EC)



$$Q_{EC}(\text{MeV}) = -931.5 (M_{Z-1} - M_Z)$$

Es.:



Nuclei con $Z < 30$ decadono per dec. β^+

Nuclei con $Z > 80$ " " EC

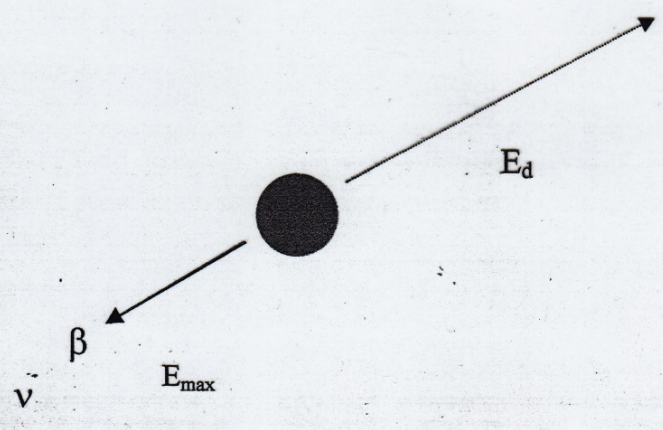
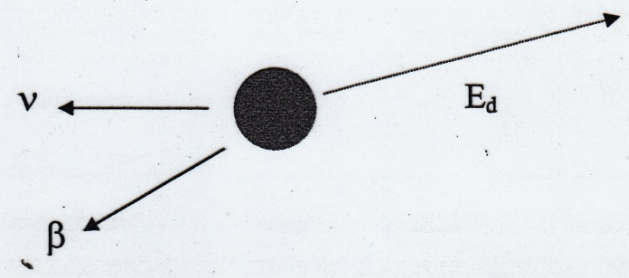
Entrambi i processi sono osservati per Z fra $30 \div 80$

A seconda del guscio si avrà cattura K, cattura L

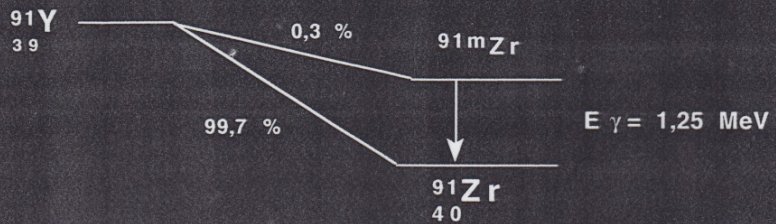
Questo processo crea una vacanza elettronica

$$Q_{\beta} = E_d + E_{max}$$

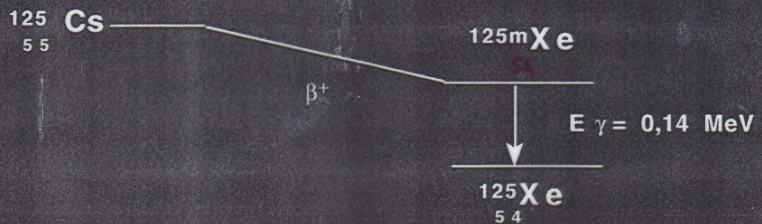
$$E_d = 0$$



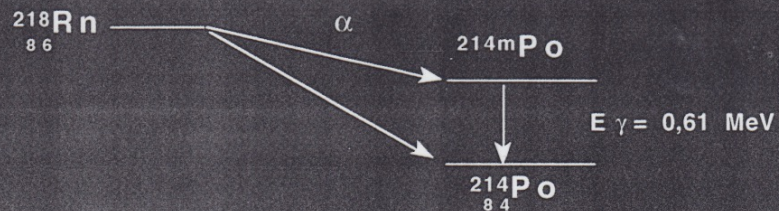
β^-



β^+



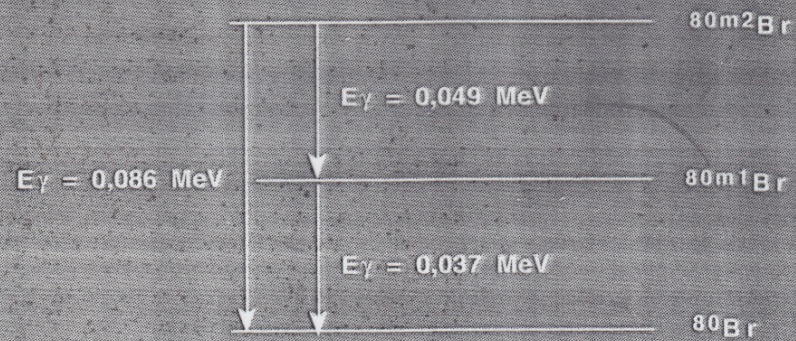
α



Emissione γ



(transizione isomérica)



t emissione MOLTO BREVE ($\sim 10^{-12}$ sec)

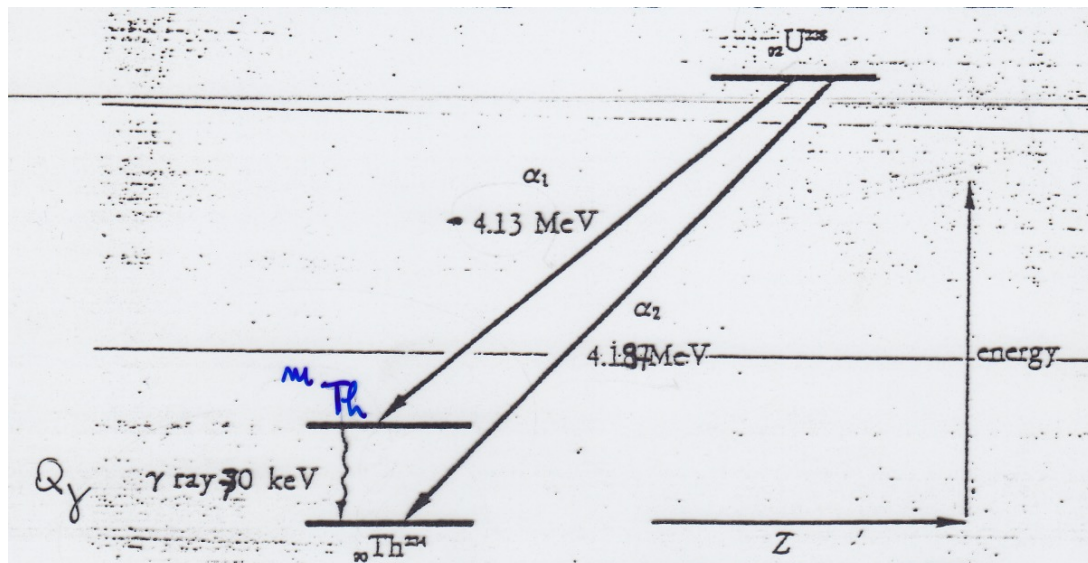


Figure 2-4 Energy relationships in the decay of U^{238} to Th^{234} . Alpha particles of 4.18 and 4.13 MeV and a gamma ray of 0.03 MeV are observed.

$$Q_\gamma = E_d + E_\gamma$$

$$E_d \leq 0,1\% E_\gamma$$

transcurabile

Conversione Interna

È il processo alternativo ai raggi γ mediante il quale un nucleo eccitato trasferisce la propria energia a un elettrone di un orbitale interno (elettrone di conversione) che viene pertanto espulso con una certa energia cinetica.

$$Q_\gamma - E_{be} = \underbrace{E_d}_{\text{transibile}} + E_e$$

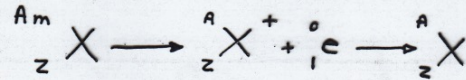
elettroni di conversione sono MONOENERGETICI

Rapporto di conversione = $\alpha_i = I_e / I_\gamma$ = analogo al rapporto

COMPETIZIONE TRA
- EMISSIONE FOTONE γ
- EMISSIONE ELETTRONE L'CONV.

$$\alpha_K = I_{eK} / I_\gamma$$

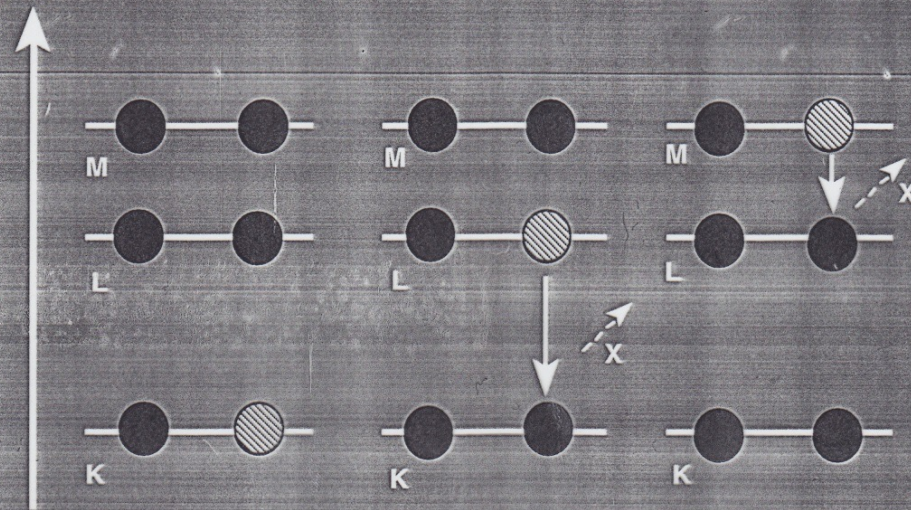
$$\alpha_K > \alpha_L > \alpha_M > \dots$$



Questo processo crea una vacanza elettronica



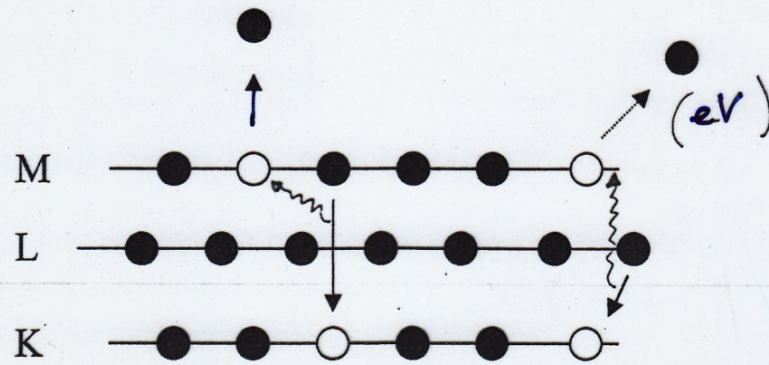
Fluorescenza a raggi X.
Effetto Auger.



$$\text{Resa di fluorescenza} = \frac{\text{n. di fotoni X emessi}}{\text{n. di vacanze elettroniche iniziali}}$$

Effetto Auger

(effetto fotoelettrico
interno)

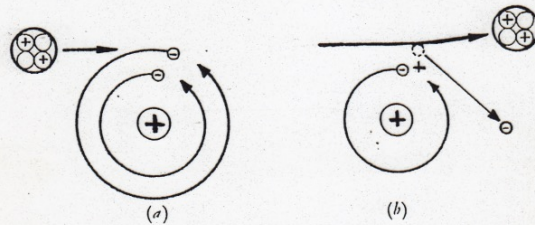


Lascia l'atomo in uno alto stato di carica

- è in competizione con l'emissione
di raggi X (fluorescenza)

Interazione delle Radiazioni con la Materia

IONIZZAZIONE

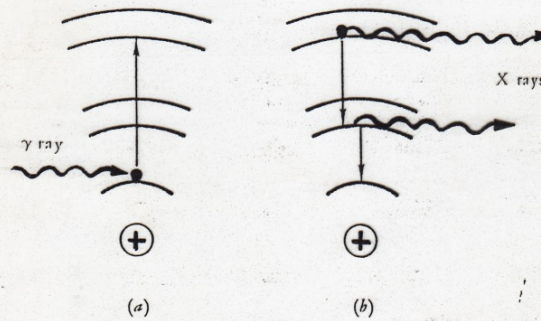


34 eV
per coppia
ionico formata

Formation of an ion pair: (a) alpha particle approaches an orbital electron and (b) causes it to leave the atom, producing an ion pair.

L'elettrone viene poi portata alla emissione di elettroni secondari

FLUORESCENZA

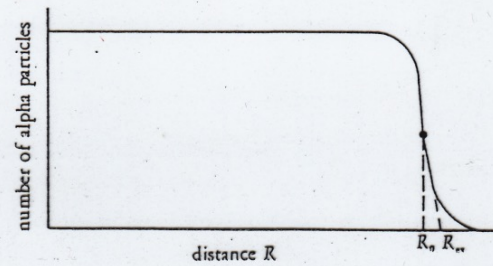


Fluorescence: (a) the gamma ray excites the electron to jump to a higher energy level; (b) the electron falls back to the original level in two steps, with X rays or visible light emitted in each step.

> IONIZZAZIONE < CAPACITA' DI ASSORBIRE LA MATERIA

Particelle α

$$R(\text{cm}) = 0.309 E^{3/2}$$



Number of alpha particles plotted as a function of distance from their source. R_0 is the range calculated from the value of R at the inflection point on the range curve; R_{0x} is the range obtained from a line tangent to the curve at the inflection point.

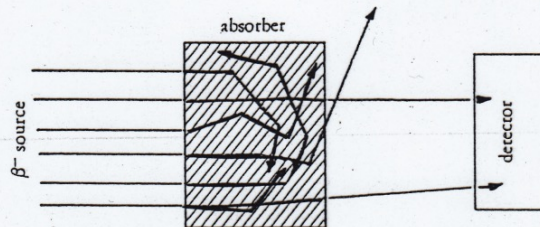
Sono poco deflesse

Viaggiano in linea

Basso potere penetrante (< liquidi > gas)

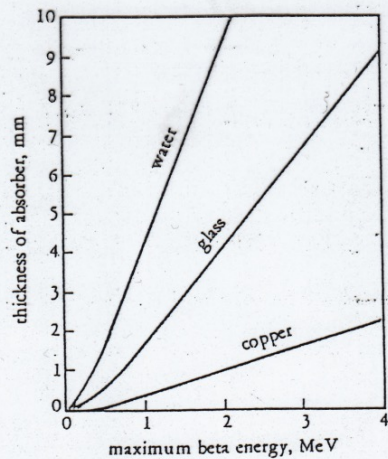
Alto potere ionizzante

Particelle β

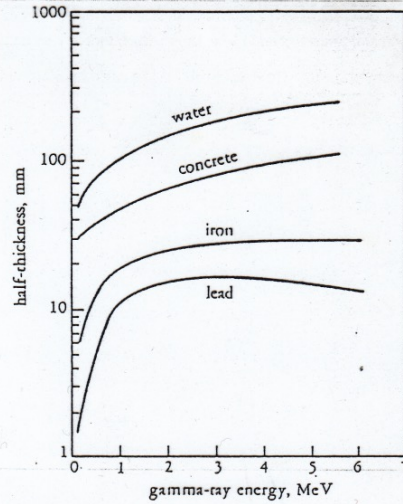
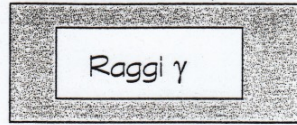


Scattering of beta particles in an absorber, illustrating that the range measured by the detector is not a measure of the total path traveled by the electrons because of the wide-angle deflections.

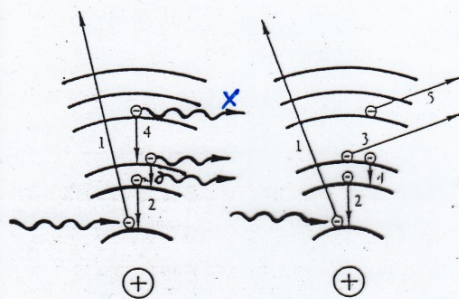
Protono energia in 1 collisione
 Sono molto deflette
 Buon ~~ABS~~ potere penetrante
 ALTA ionizzazione secondaria (elettroni emessi colata energia)
 70-80%



Plot of absorber thicknesses required to stop beta rays completely.



$$E_e = E_\gamma - IP$$

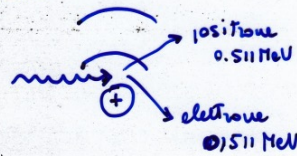


(a) X-ray emission (b) Auger-electron emission

The photoelectric effect: (a) following ionization of a K-shell electron (1), electrons from higher shells successively fall to the vacancies in the lower shells (2, 3, 4) with simultaneous emission of X rays; (b) following ionization, further electron emission occurs in competition with X-ray emission subsequent to the fall of electrons to lower energy levels.

one energy of γ e electron per unit

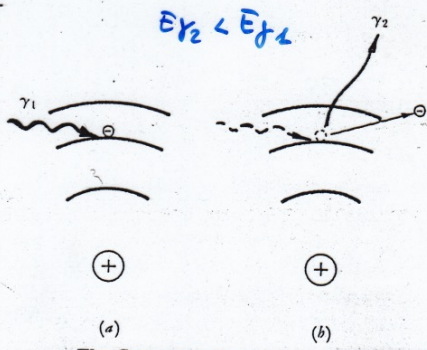
PAIR PRODUCTION



$$E_\gamma > 1.02 \text{ MeV}$$

Plot of absorber thicknesses required to reduce gamma-ray intensity to one-half the original intensity.

*Alto poton penetranie
Bose poton ionizantie
Alto ionizantia noularia
Pendow eueye in 1
collisioie (ma e pota
probabile)*

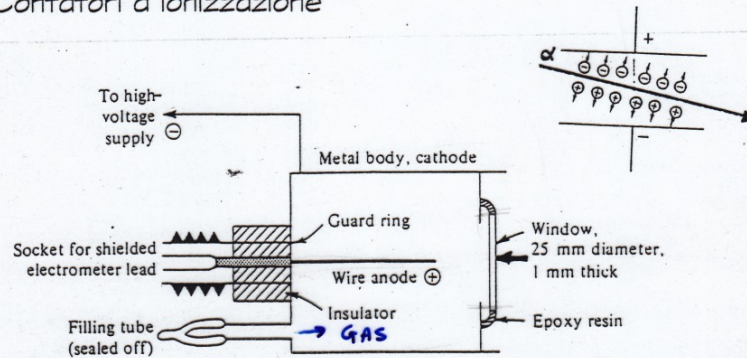


The Compton effect: (a) the gamma ray approaches the orbital electron and (b) excites it above the

$$E_{\gamma_2} < E_{\gamma_1}$$

Tecniche di Rivelazione delle Radiazioni -

- Emulsioni fotografiche (*producono tracce nere*)
si può distinguere così α , β , γ
- Contatori a ionizzazione



per le particelle α prodotte nel decadimento dell' ^{238}U aventi 4.18 MeV di energia, che formeranno 1.18×10^5 coppie ioniche:

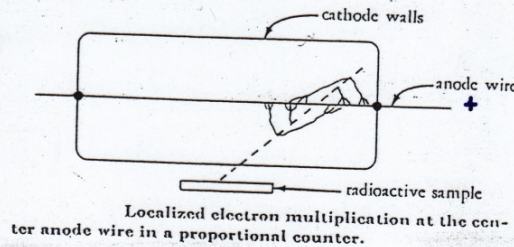
$$Q = (1.18 \times 10^5) (1.6 \times 10^{19}) = 1.9 \times 10^{14} \text{ Coulomb}$$

Deve essere amplificata.

- Contatori proporzionali

Distribuzione α e β
non buono per γ
Amplifica $10^3 - 10^5$ volte
il segnale

Av/CH₂

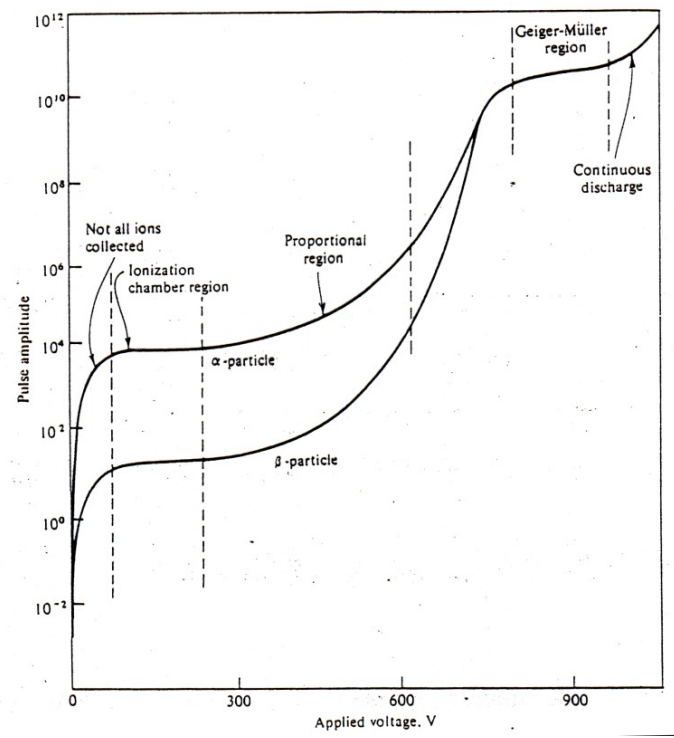
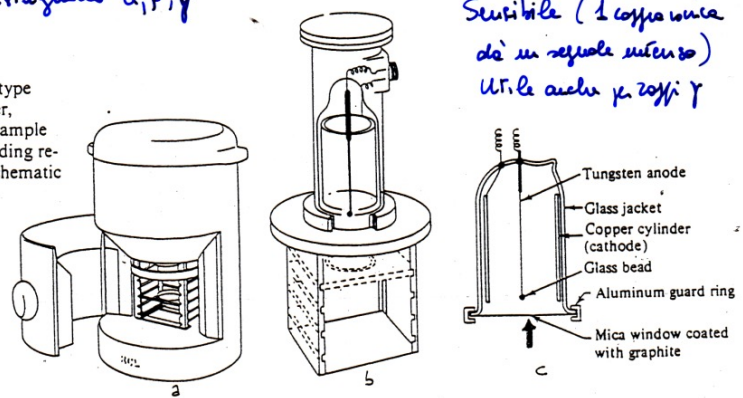


- Contatori Geiger Müller (non da' segnale continuo)
 Navodirigiamo α, β, γ

Sensibile (1 coppia viene da un segnale continuo)
 Utile anche per raggi γ

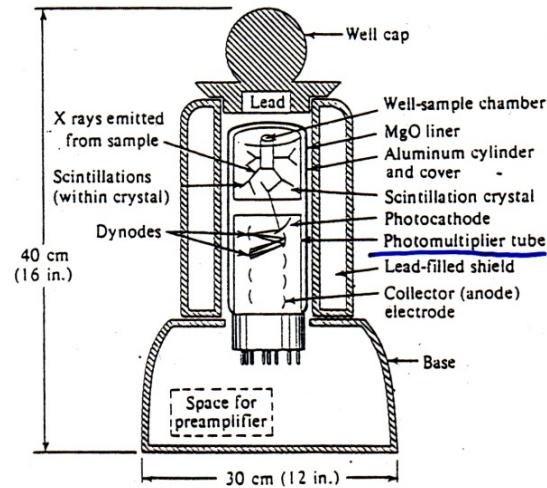
(a) End-window type of Geiger counter, (b) counter and sample holder with shielding removed, and (c) schematic of counter.

Amplificatore 10^8



- Contatori a Scintillazione (α , β e soprattutto γ)
 Alta velocità di conteggio

NbI/Te
 ZnS (α)
 Anticium (β)



- Rivelatori Semiconduttori

Una vacante elettronica alterando la conducibilità della materia

	<i>Counter</i>			
	<i>Ionization chamber</i>	<i>Proportional</i>	<i>G.M.</i>	<i>Scintillation</i>
Normal detection state	gas	gas	gas	liquid or solid
Radiation usually counted	α, β	α, β	α, β, γ	α, β, γ
Multiplication of primary charge	1	10^4	10^8	10^8
Complexity of total system	medium	high	low	high
Particular advantages	simplicity; measurement of alpha energies	high count rates	simplicity; adaptability	high count rates; measurement of gamma energies